

Figura 6.28 Resultados isotrópicos obtenidos con la Mini-célula isotrópica, representados en el plano $s : (\sigma_m - u_a) : e_w : e$. Trayectoria BCD ensayo ISOW-1.

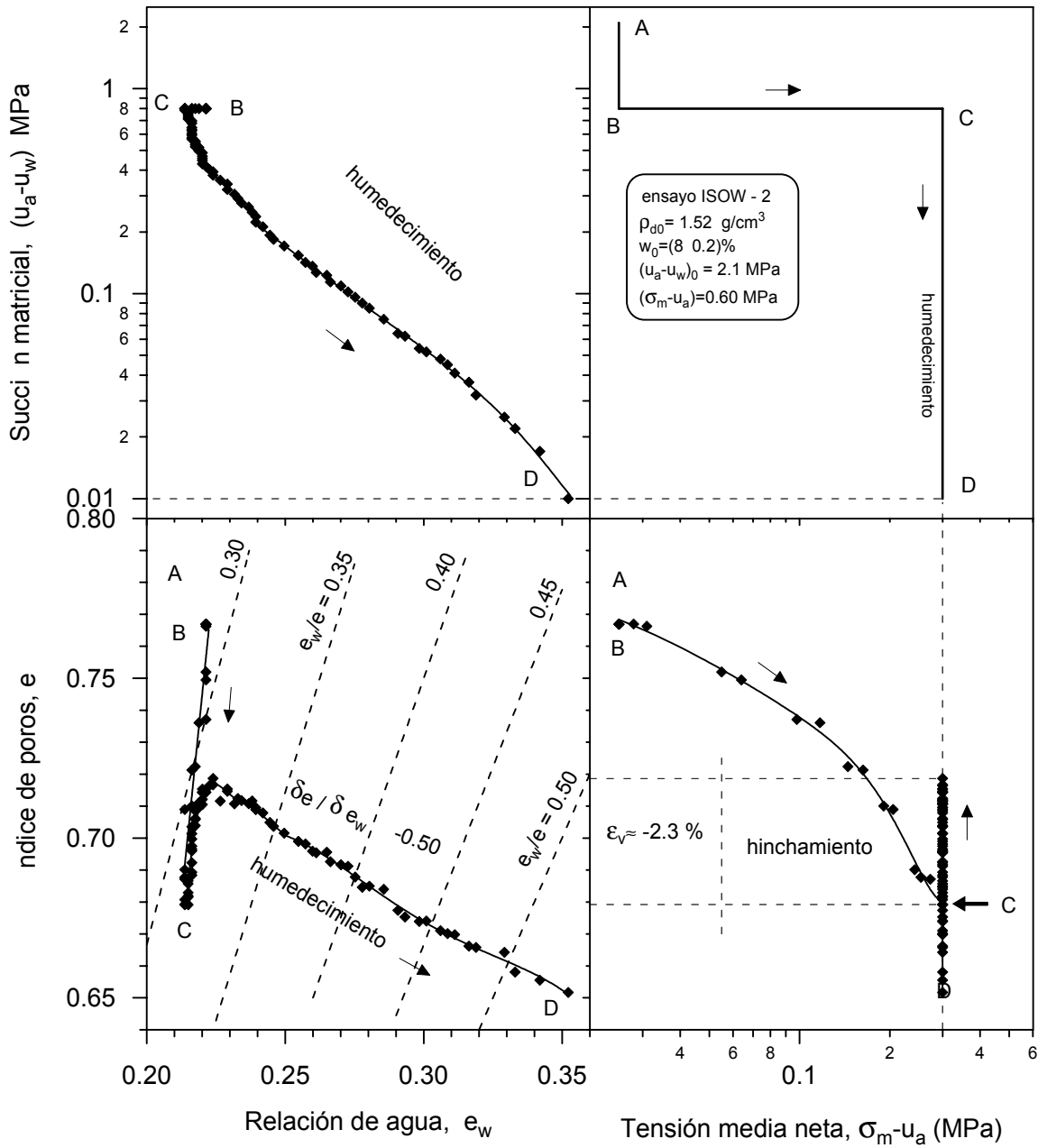


Figura 6.29 Resultados isotrópicos obtenidos con la Mini-célula isotrópica, representados en el plano $s : (\sigma_m - u_a) : e_w : e$. Trayectoria ABCD ensayo ISOW-2.

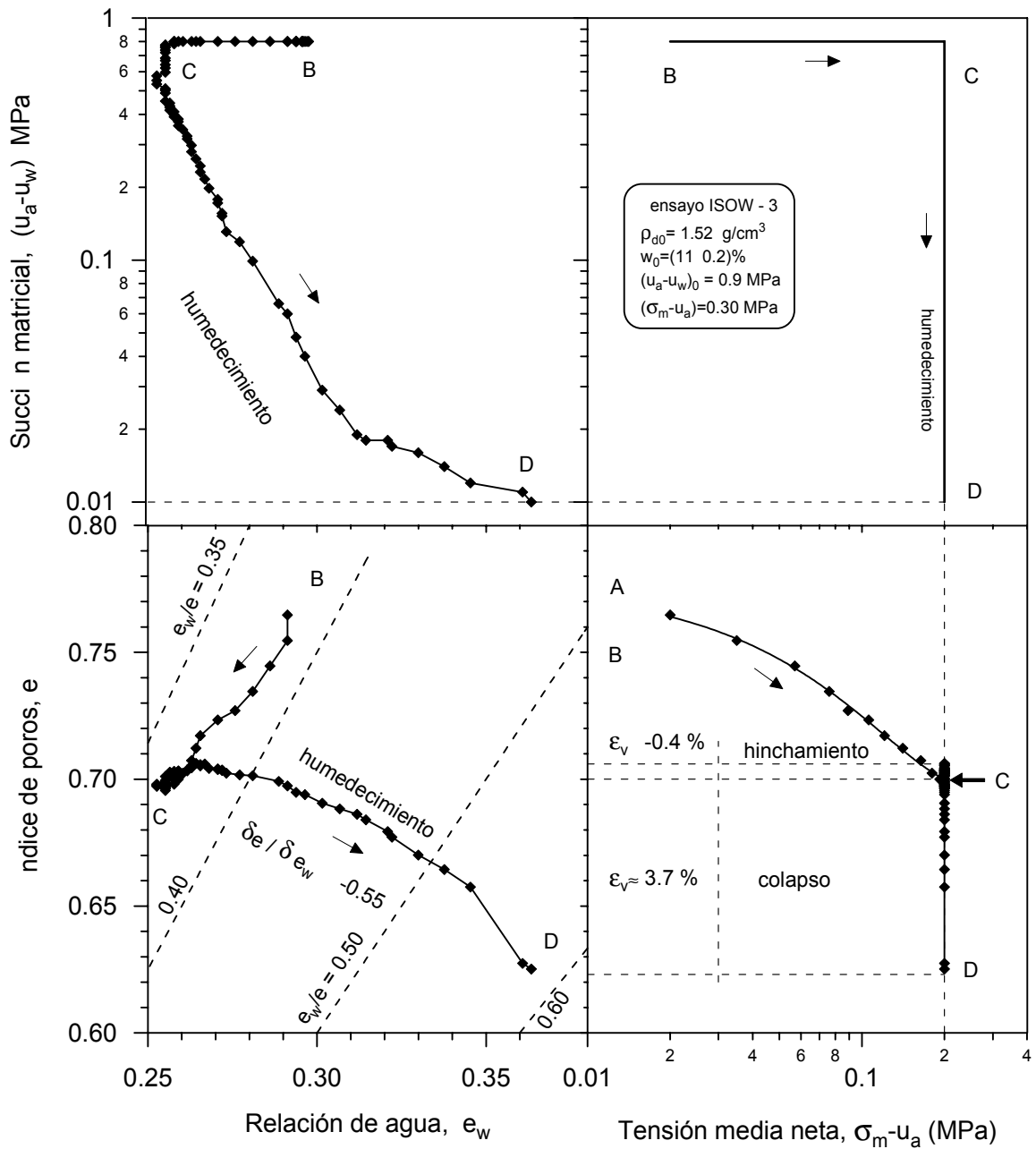


Figura 6.30 Resultados isotrópicos representados en el plano $s : (\sigma_m - u_a) : e_w : e$. Trayectoria BCD ensayo ISOW-3 (Mini-célula isotrópica).

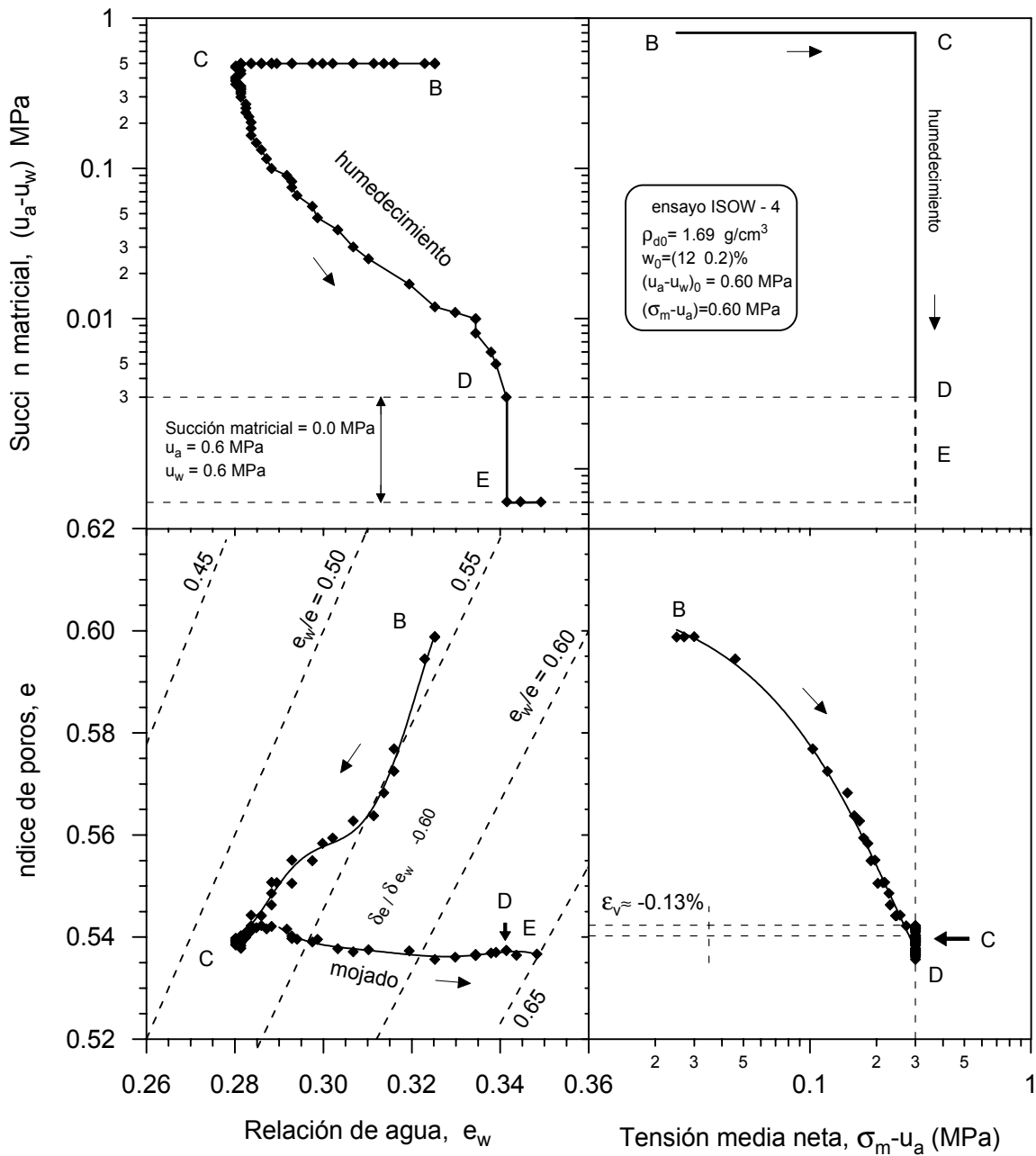


Figura 6.31 Resultados isotrópicos representados en el plano $s : (\sigma_m - u_a) : e_w : e$. Trayectoria BCDE ensayo ISOW-4 (Mini-célula isotrópica).

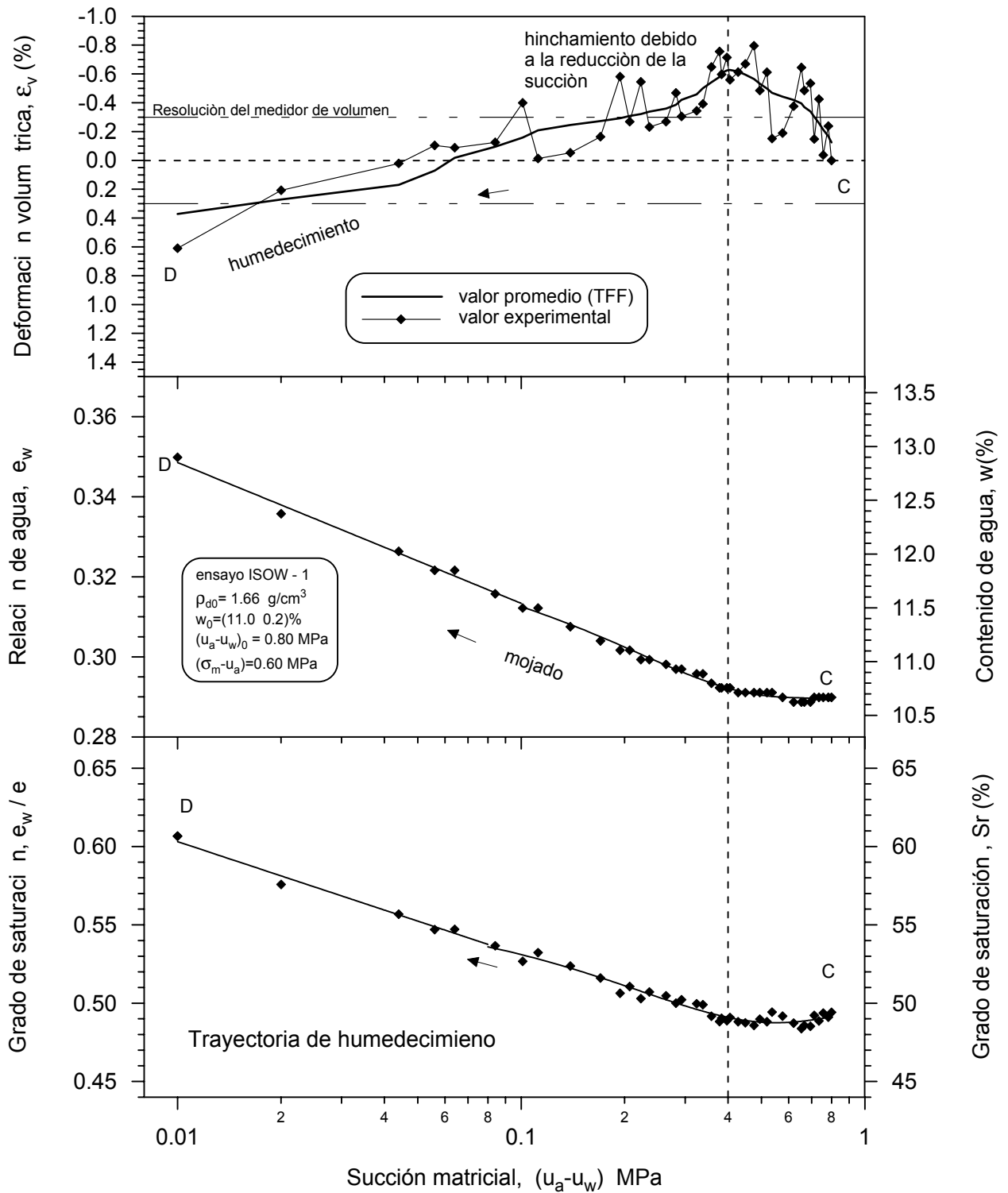


Figura 6.32 Trayectoria de humedecimiento a tensión media neta constante $(\sigma_m - u_a) = 0.3 \text{ MPa}$. Trayectoria CD ensayo ISOW-1 (Mini-célula isotropa).

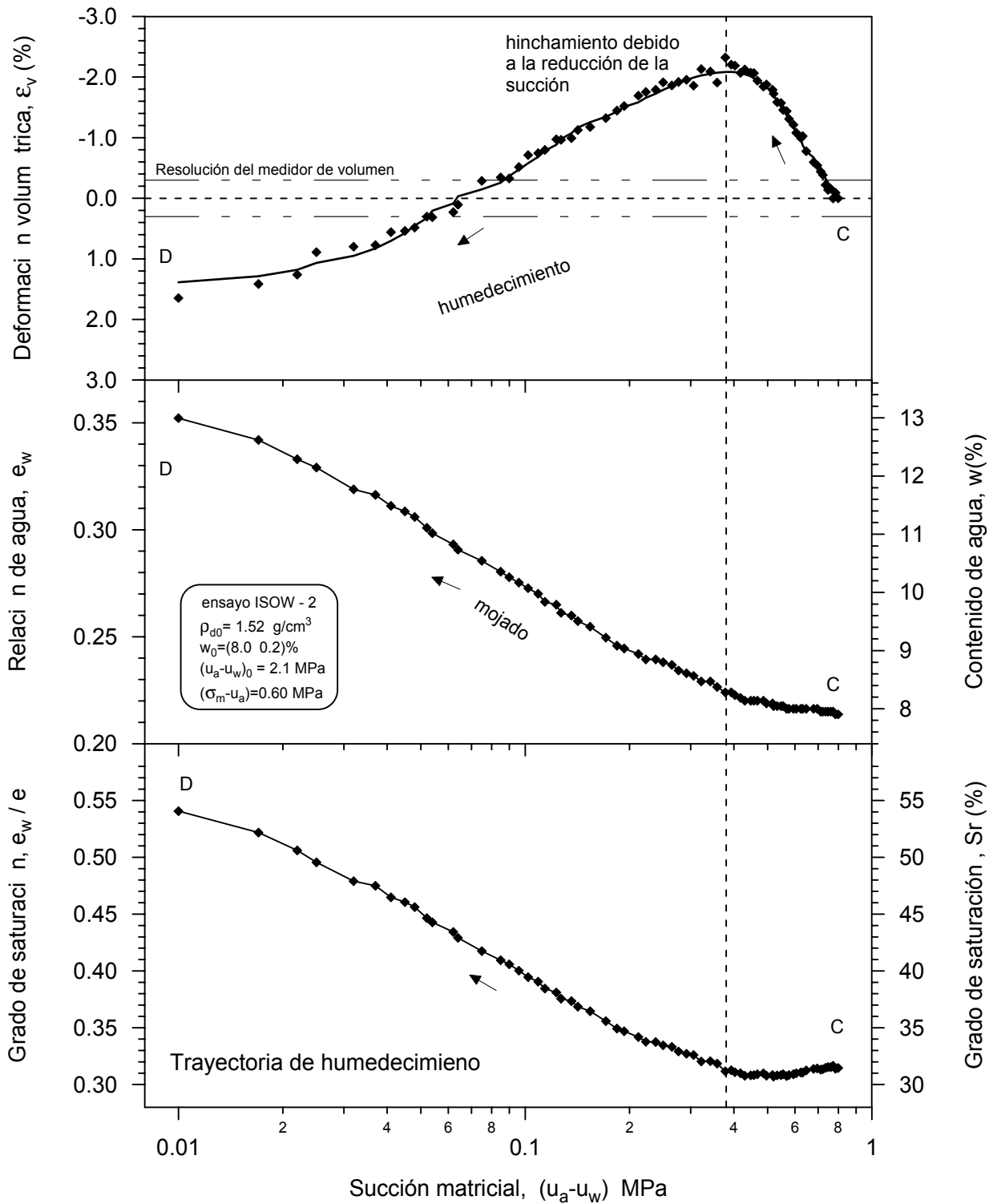


Figura 6.33 Trayectoria de humedecimiento a tensión media neta constante $(\sigma_m - u_a) = 0.3 \text{ MPa}$. Trayectoria CD ensayo ISOW-2 (Mini-célula isotropa).

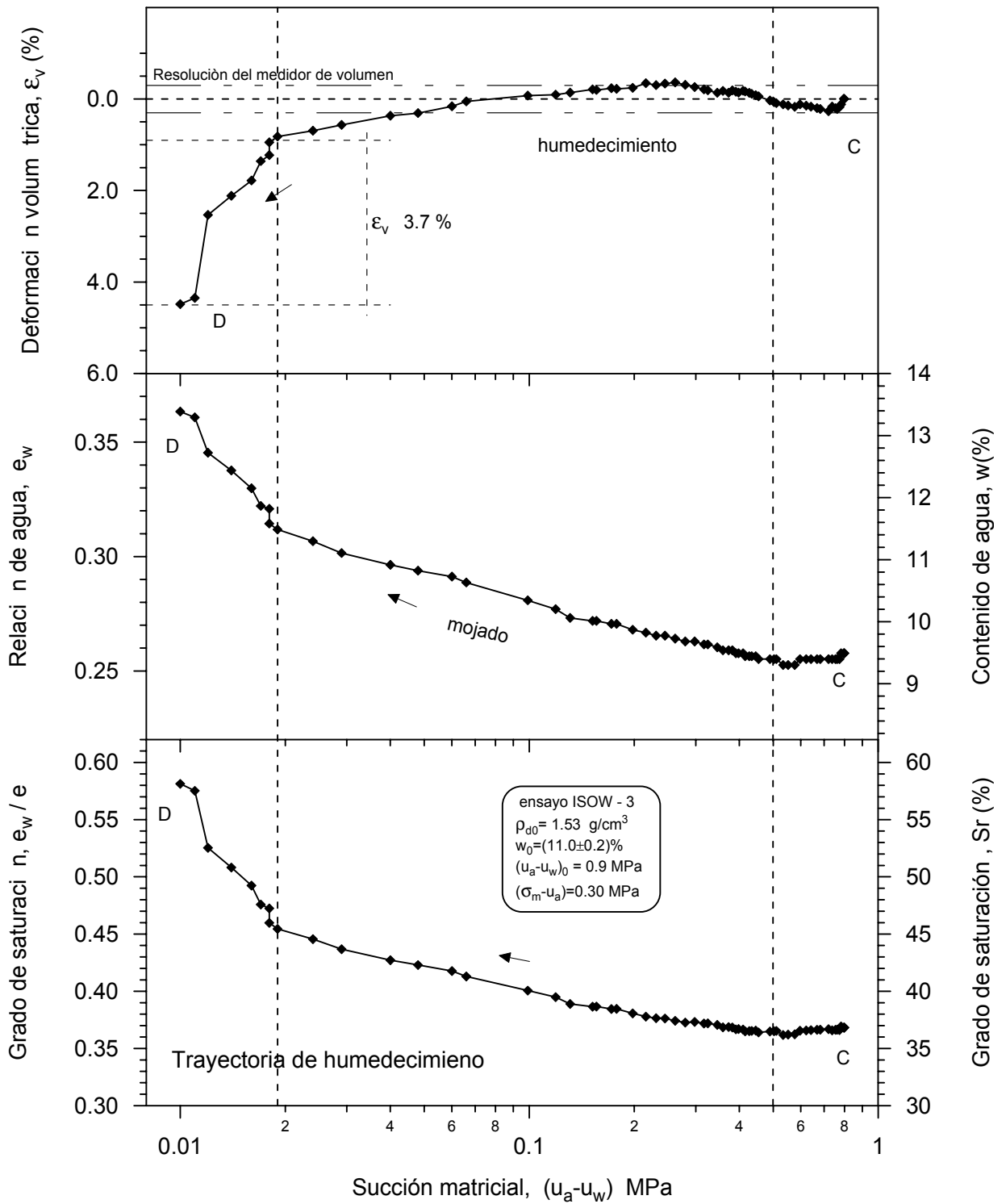


Figura 6.34 Trayectoria de humedecimiento a tensión media neta constante $(\sigma_m - u_a) = 0.2 \text{ MPa}$. Trayectoria CD ensayo ISOW-3 (Mini-célula isótropa).

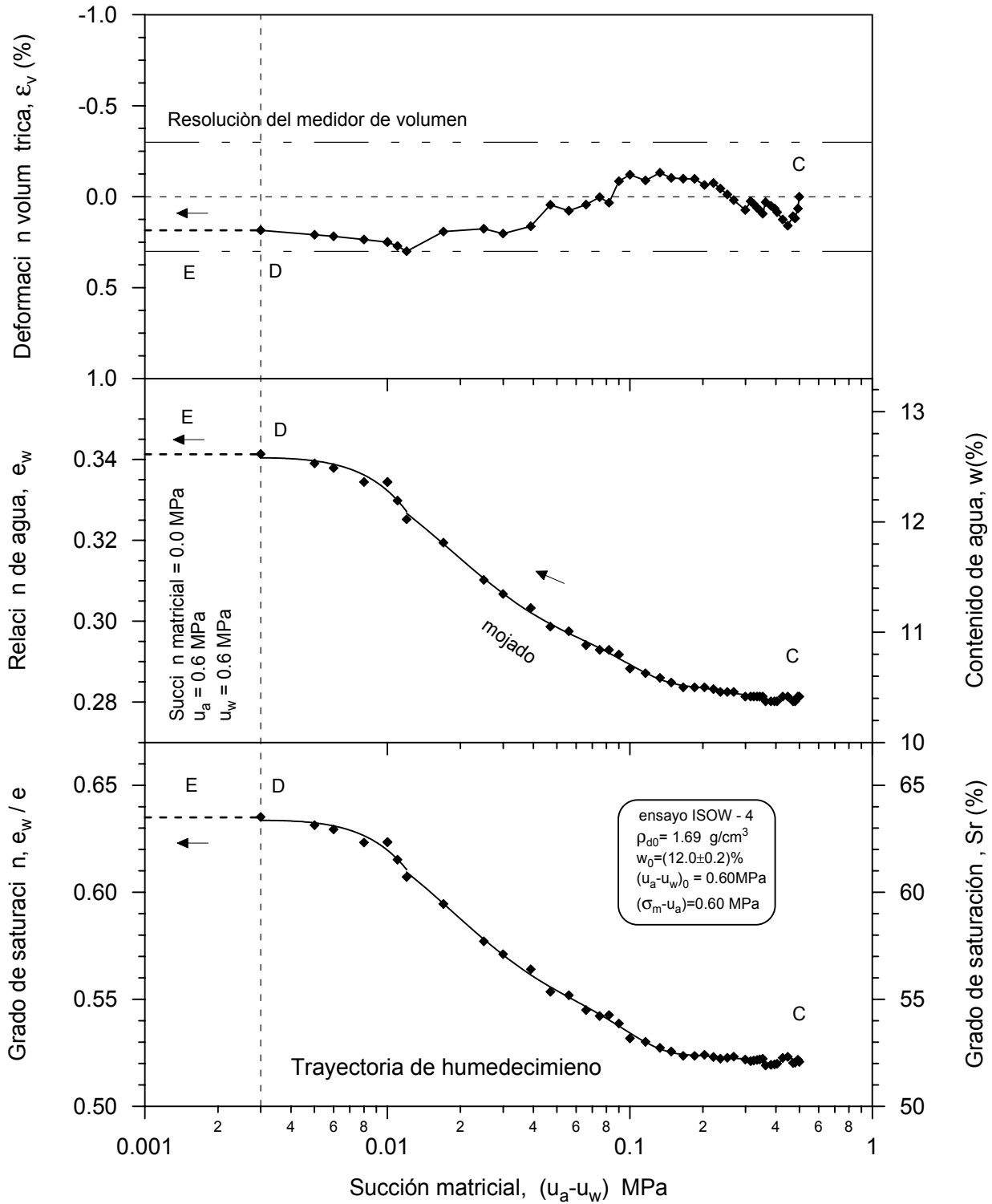


Figura 6.35 Trayectoria de humedecimiento a tensión media neta constante $(\sigma_m - u_a) = 0.3$ MPa. Trayectoria CD ensayo ISOW-4 (Mini-célula isotrópica).

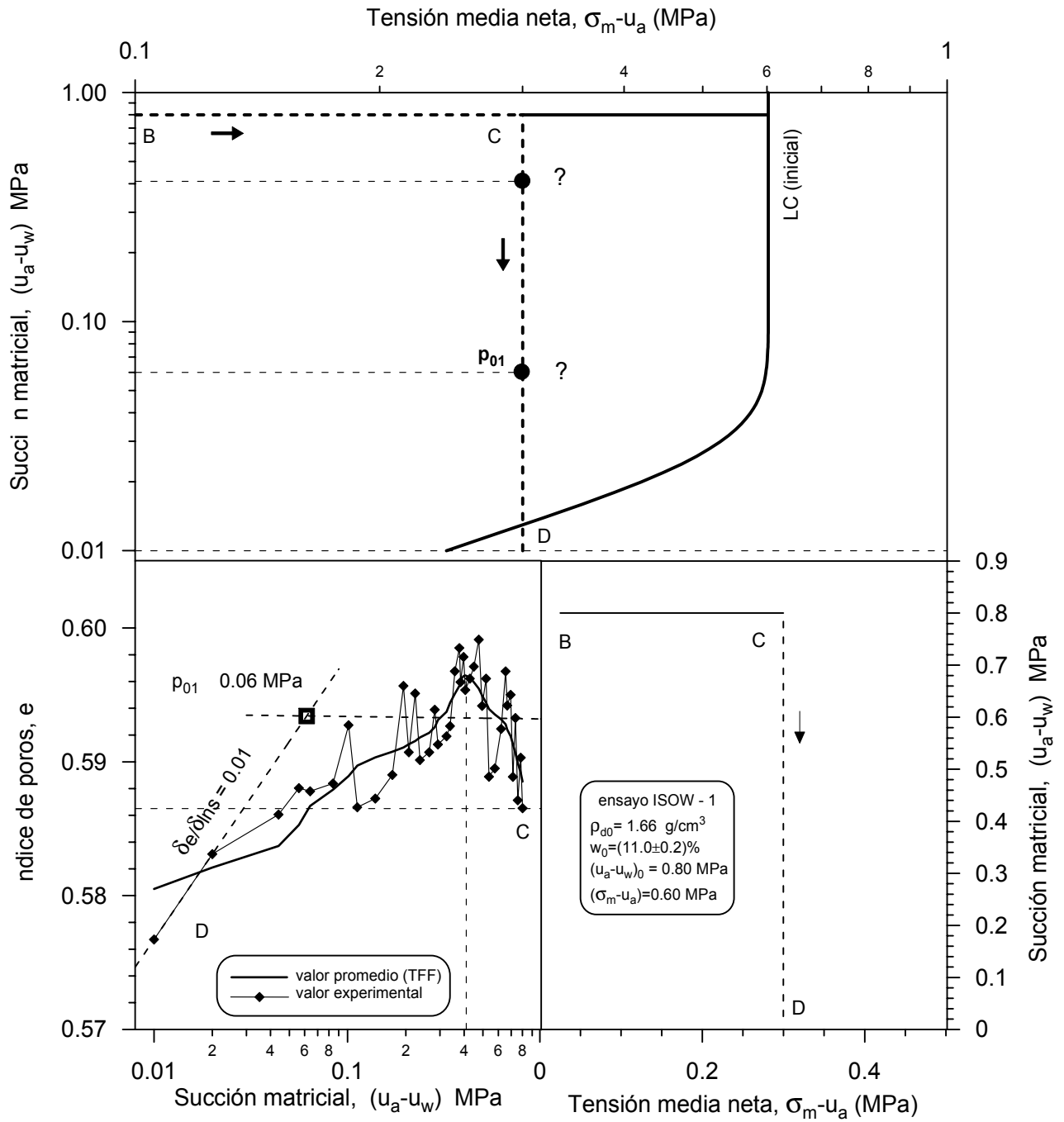


Figura 6.36 Intersección de la superficie de fluencia inicial de muestras sobreconsolidadas en una trayectoria de humedecimiento. Ensayo ISOW-1 (Mini-célula isótropa).

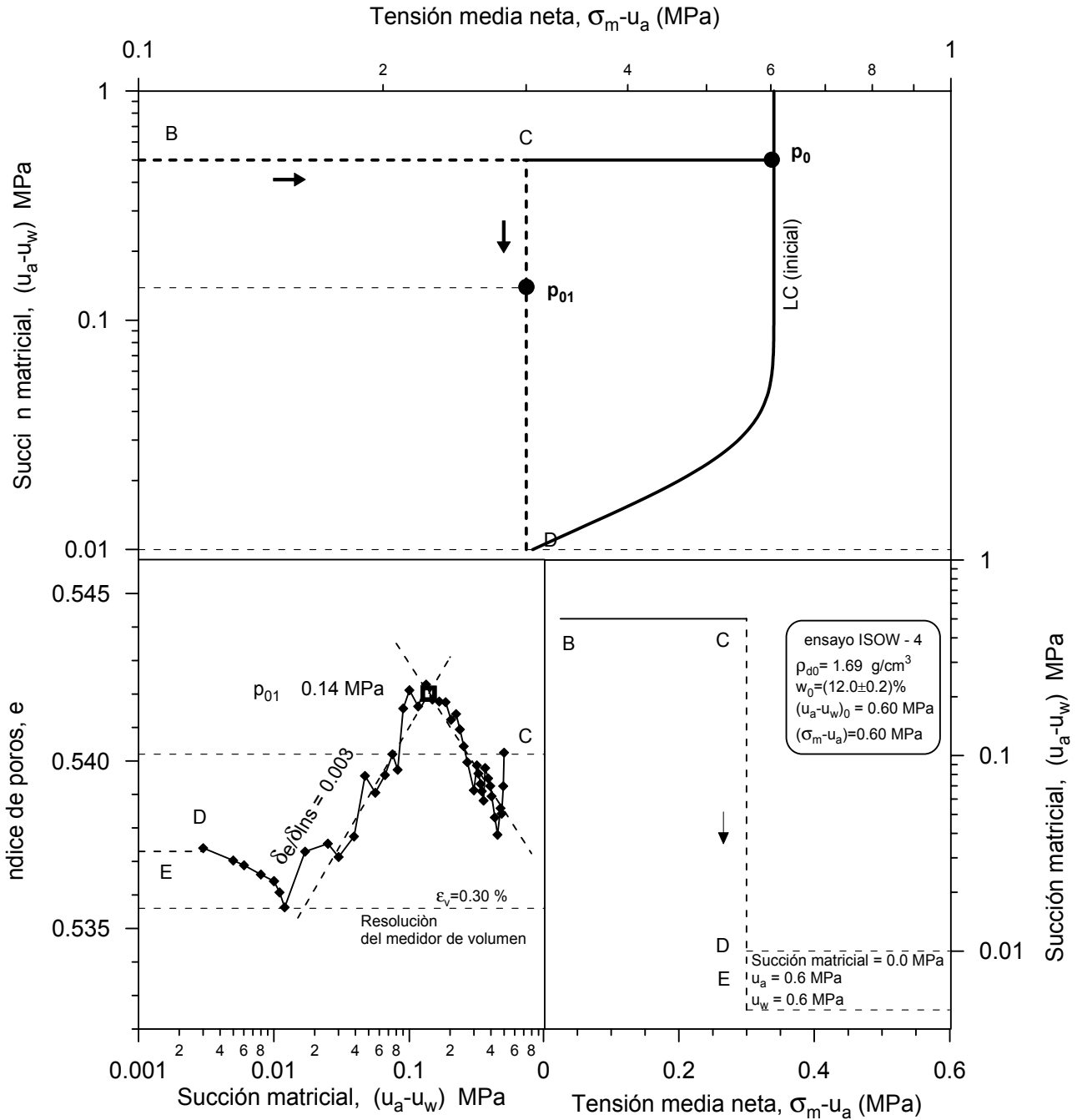


Figura 6.39 Intersección de la superficie de fluencia de muestras sobreconsolidadas en una trayectoria de humedecimiento. Ensayo ISOW-4 (Mini-célula isótropa).

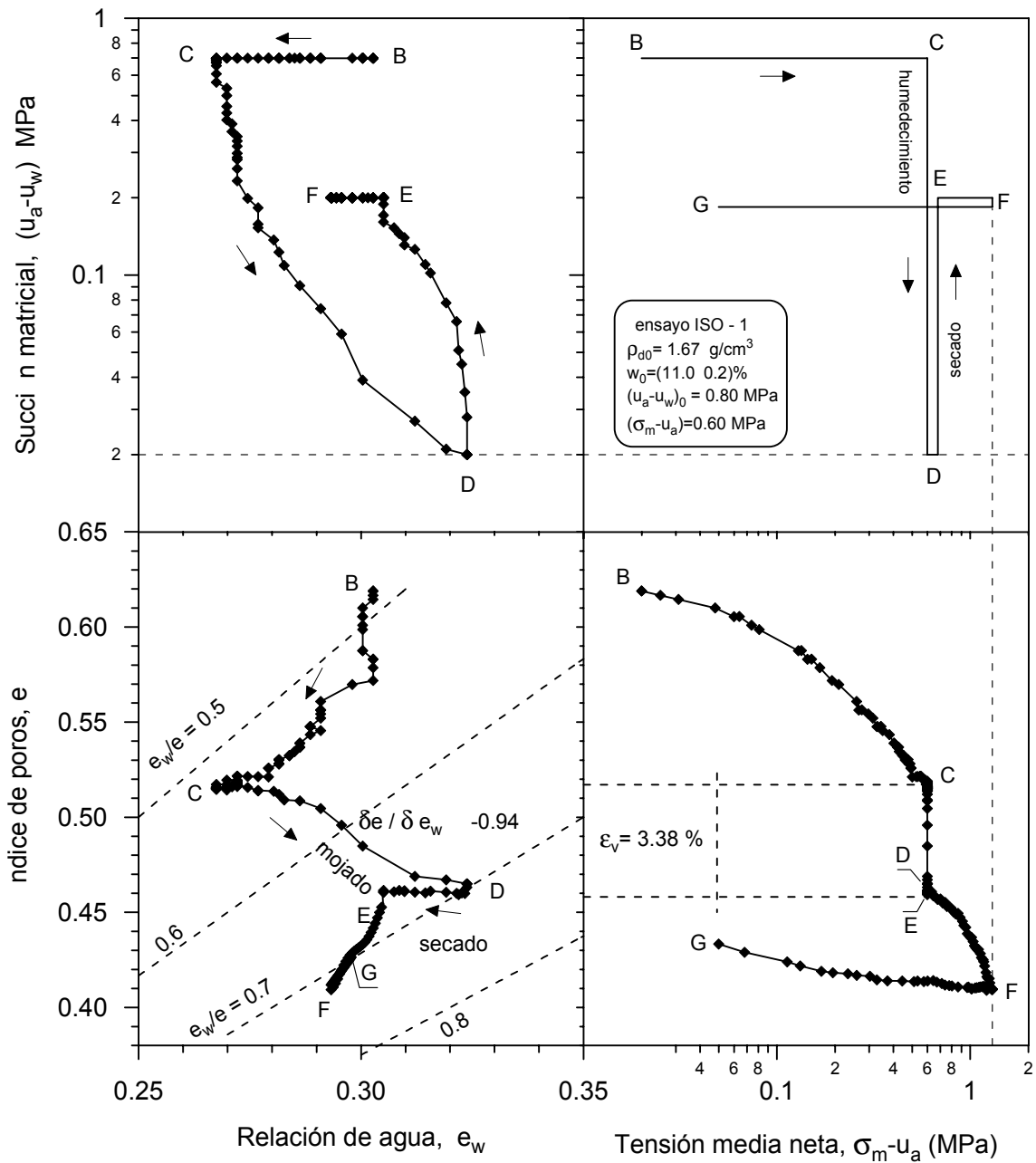


Figura 6.40 Resultados isotrópicos obtenidos con la Mini-célula isotrópica, representados en el plano $s : (\sigma_m - u_a) : e_w : e$. Trayectoria BCDEFG ensayo ISO-1.

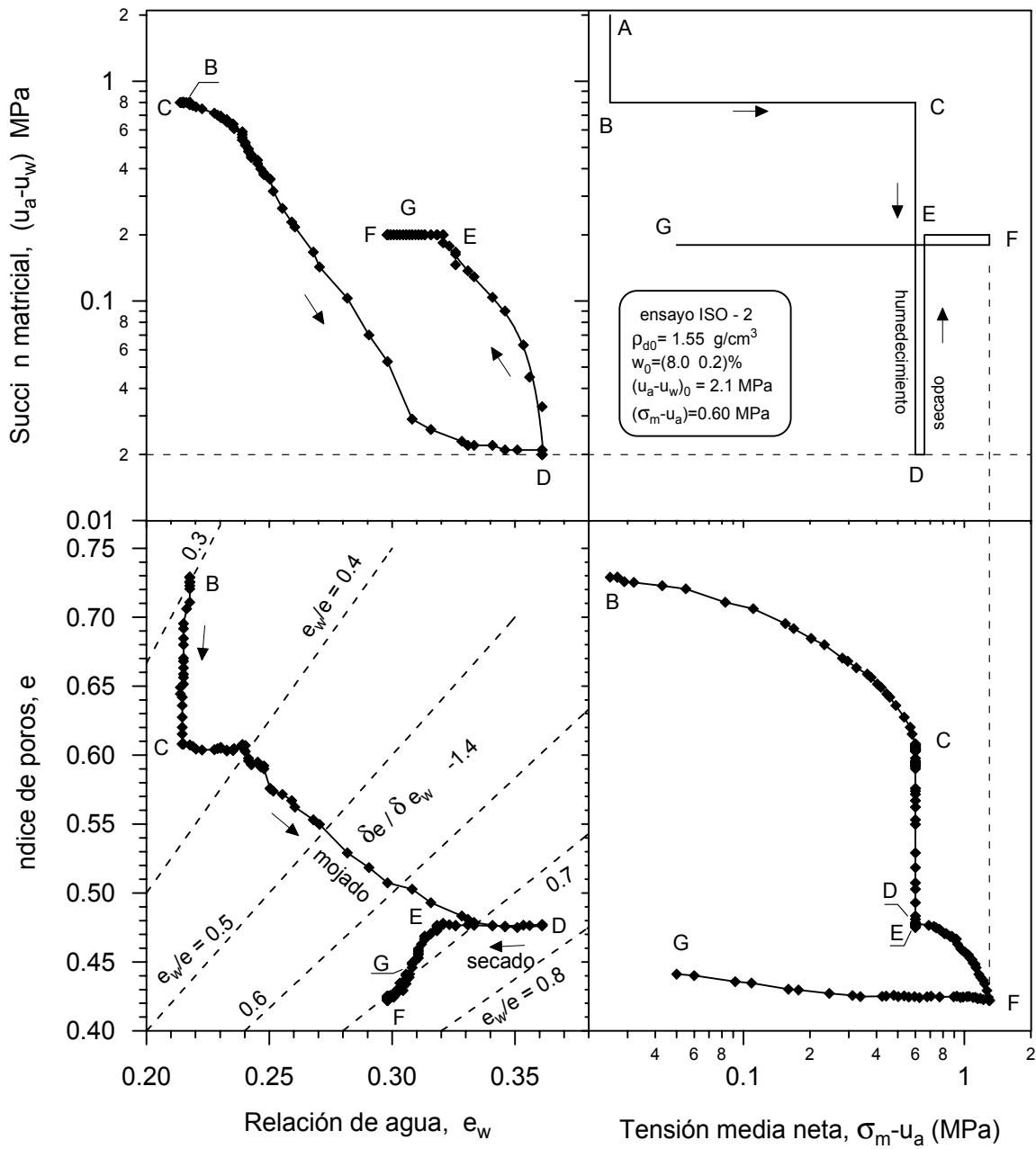


Figura 6.41 Resultados isotrópicos obtenidos con la Mini-célula isotrópica, representados en el plano $s : (\sigma_m - u_a) : e_w : e$. Trayectoria ABCDEFG ensayo ISO-2.

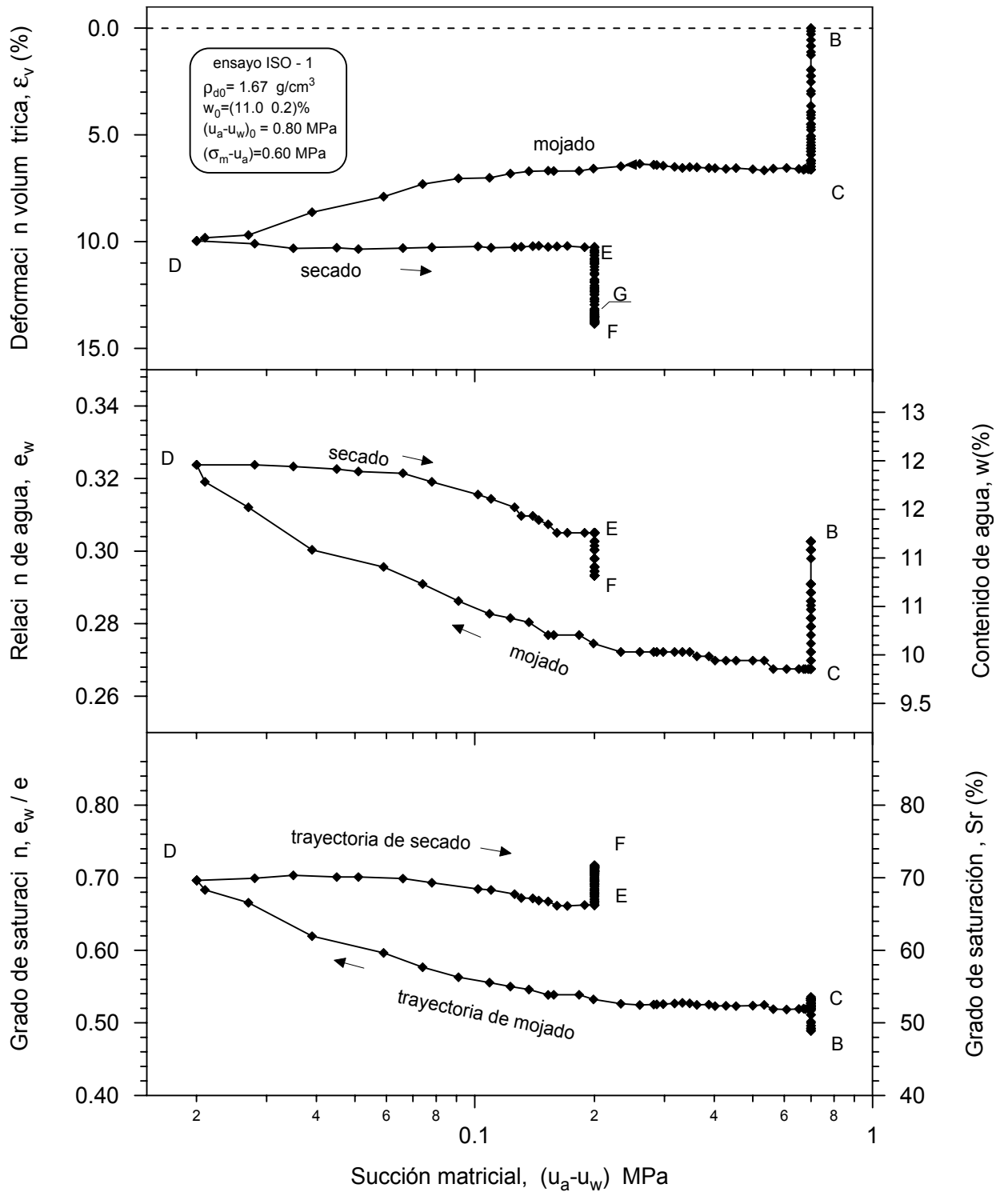


Figura 6.42 Trayectoria de humedecimiento y secado a tensión media neta constante $(\sigma_m - u_a) = 0.6$ MPa. Trayectoria BCDEFG ensayo ISO-1 (Mini-célula isotrópica).

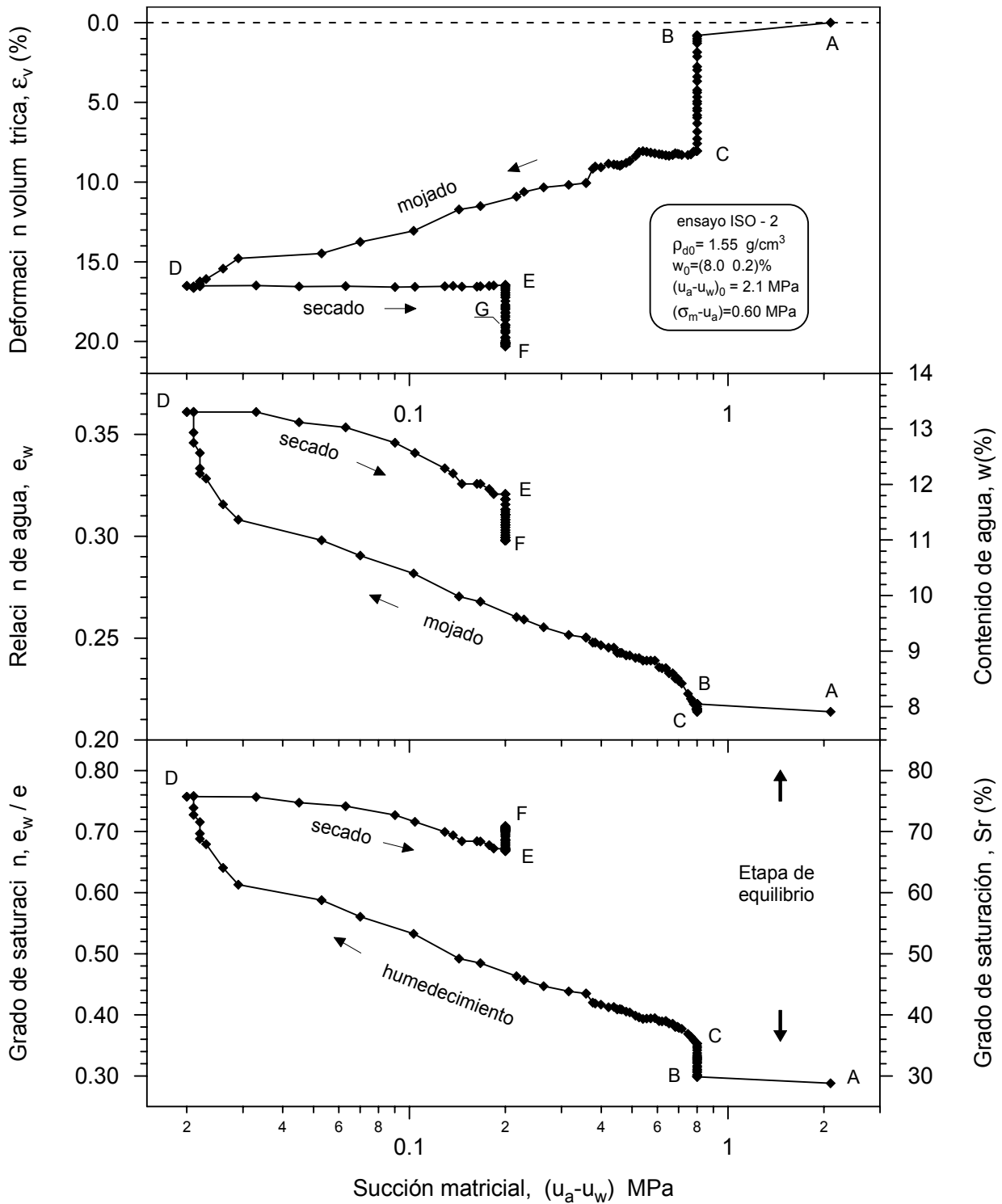


Figura 6.43 Trayectoria de humedecimiento y secado a tensión media neta constante $(\sigma_m - u_a) = 0.6$ MPa. Trayectoria ABCDEFG ensayo ISO-2 (Mini-célula isótropa).

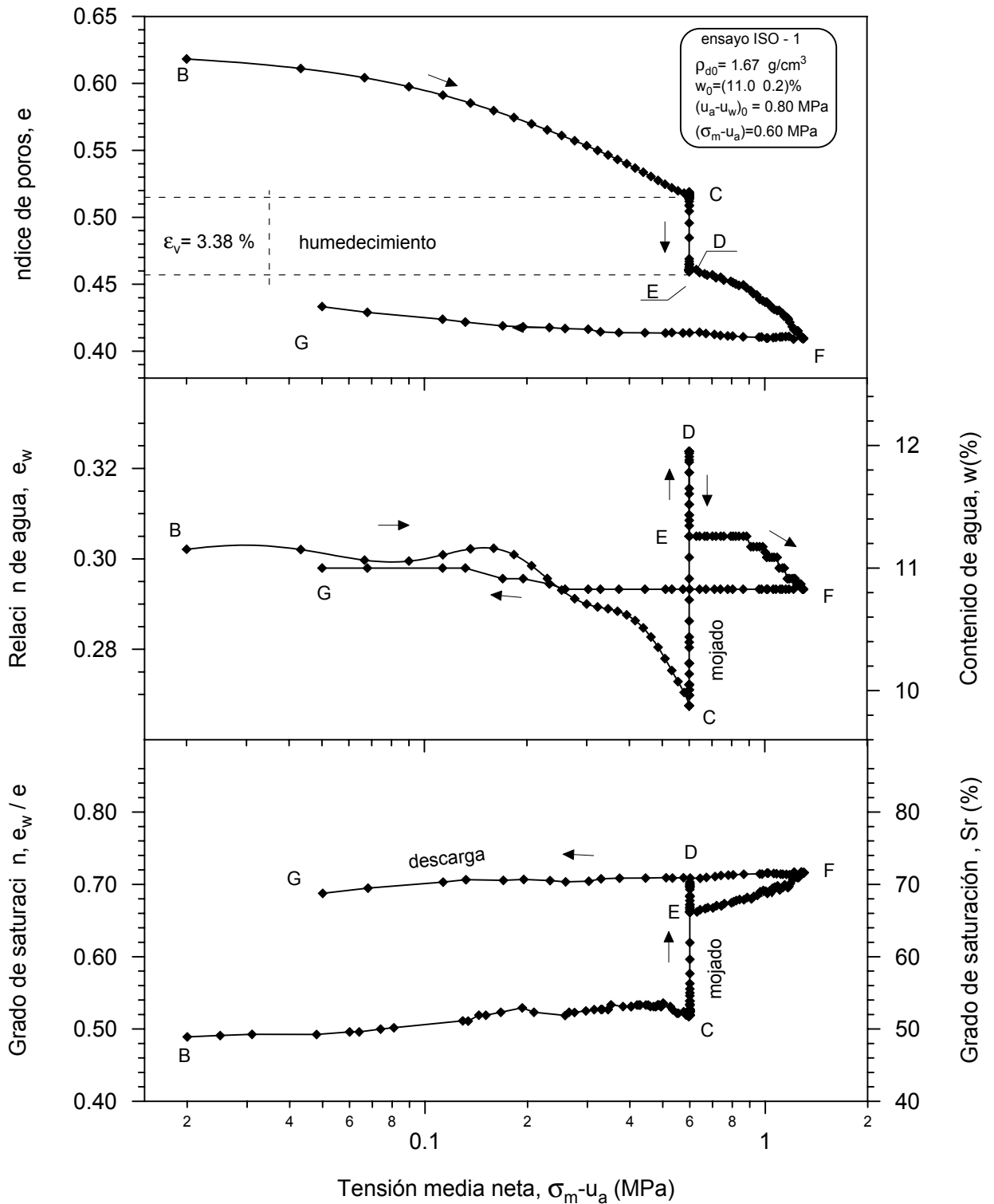


Figura 6.44a Variación del índice de e , e_w y e_w/e en las trayectorias de humedecimiento-secado y carga-descarga. Trayectoria BCDEFG ensayo ISO-1 (Mini-célula isótropa).

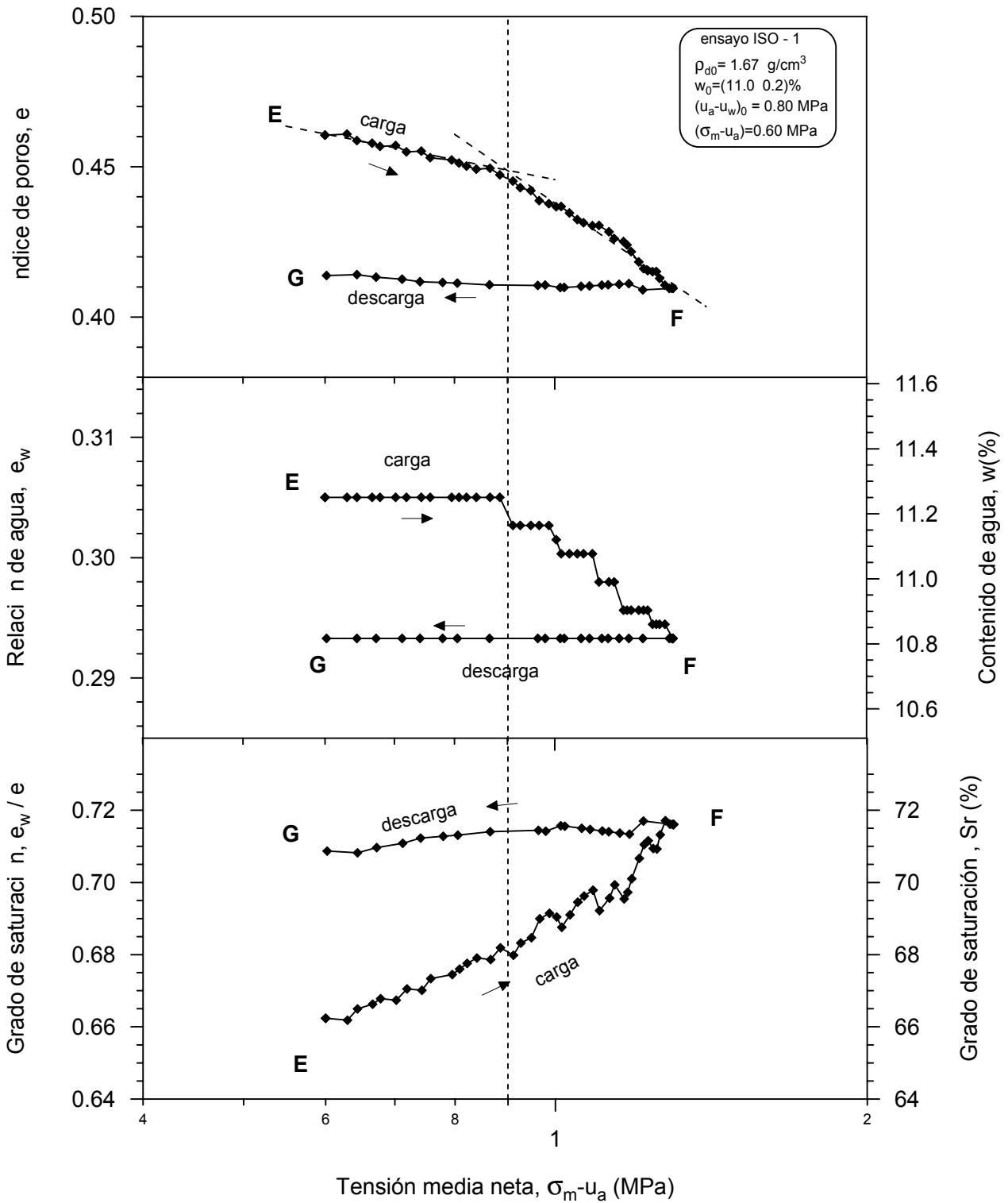


Figura 6.44b Variación de e , e_w y e_w/e durante el ciclo de carga-descarga. Trayectoria EFG ensayo ISO-1 (Mini-célula isótropa).

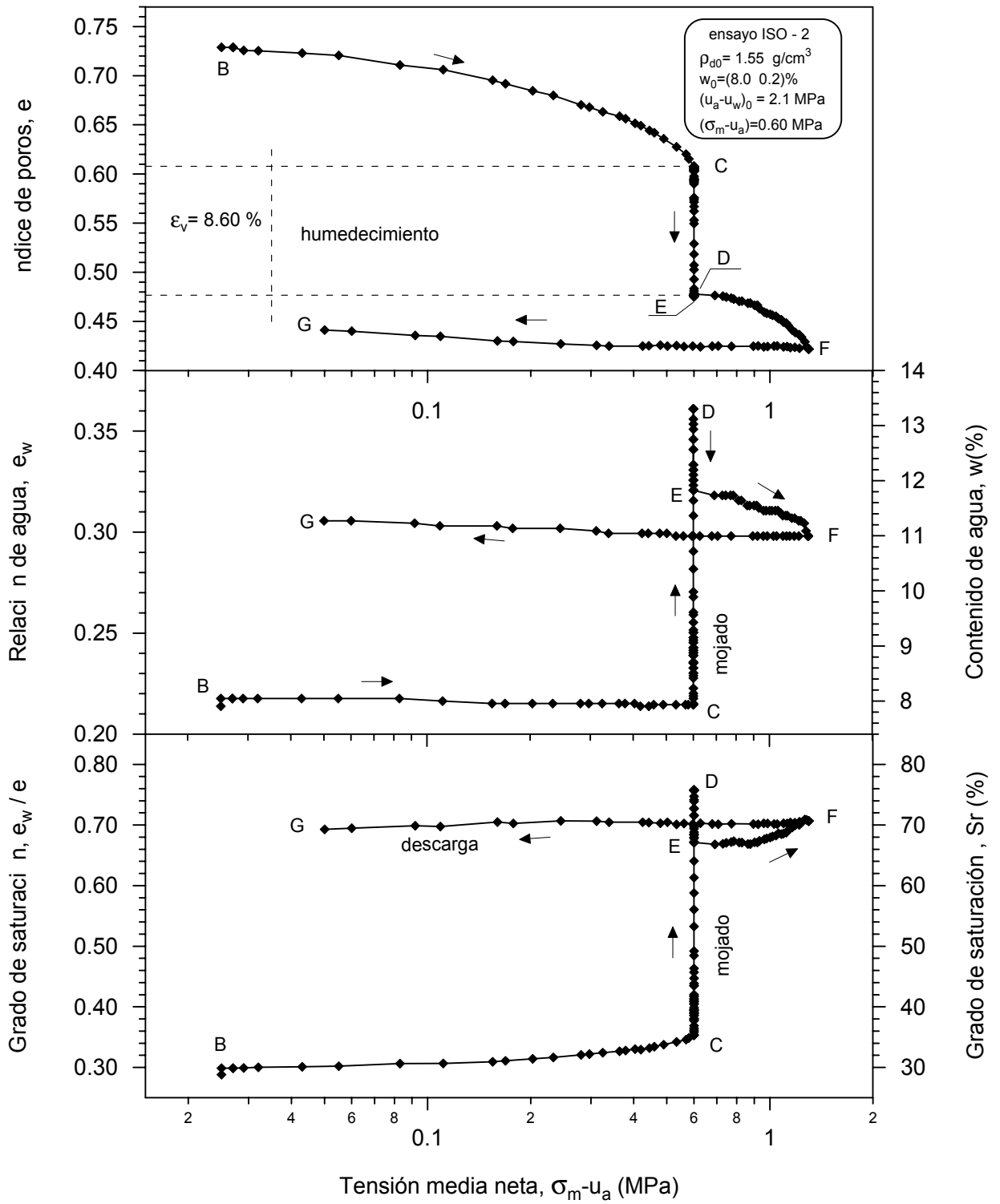


Figura 6.45a Variación del índice de e , e_w y e_w/e en las trayectorias de humedecimiento-secado y carga-descarga. Trayectoria BCDEFG ensayo ISO-2 (Mini-célula isotrópica).

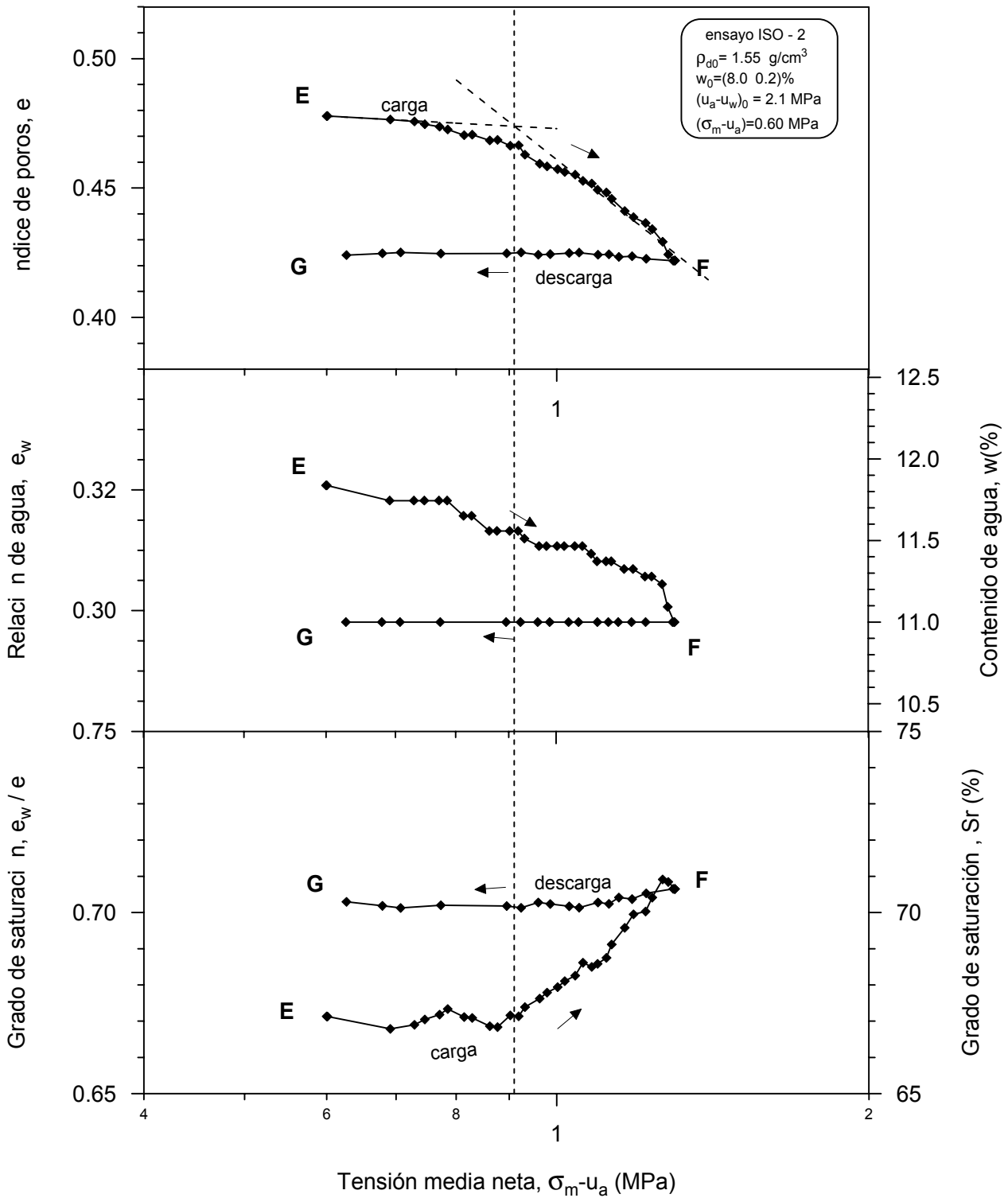


Figura 6.45b Variación de e , e_w y e_w/e durante el ciclo de carga-descarga. Trayectoria EFG ensayo ISO-2 (Mini-célula isotrópica).

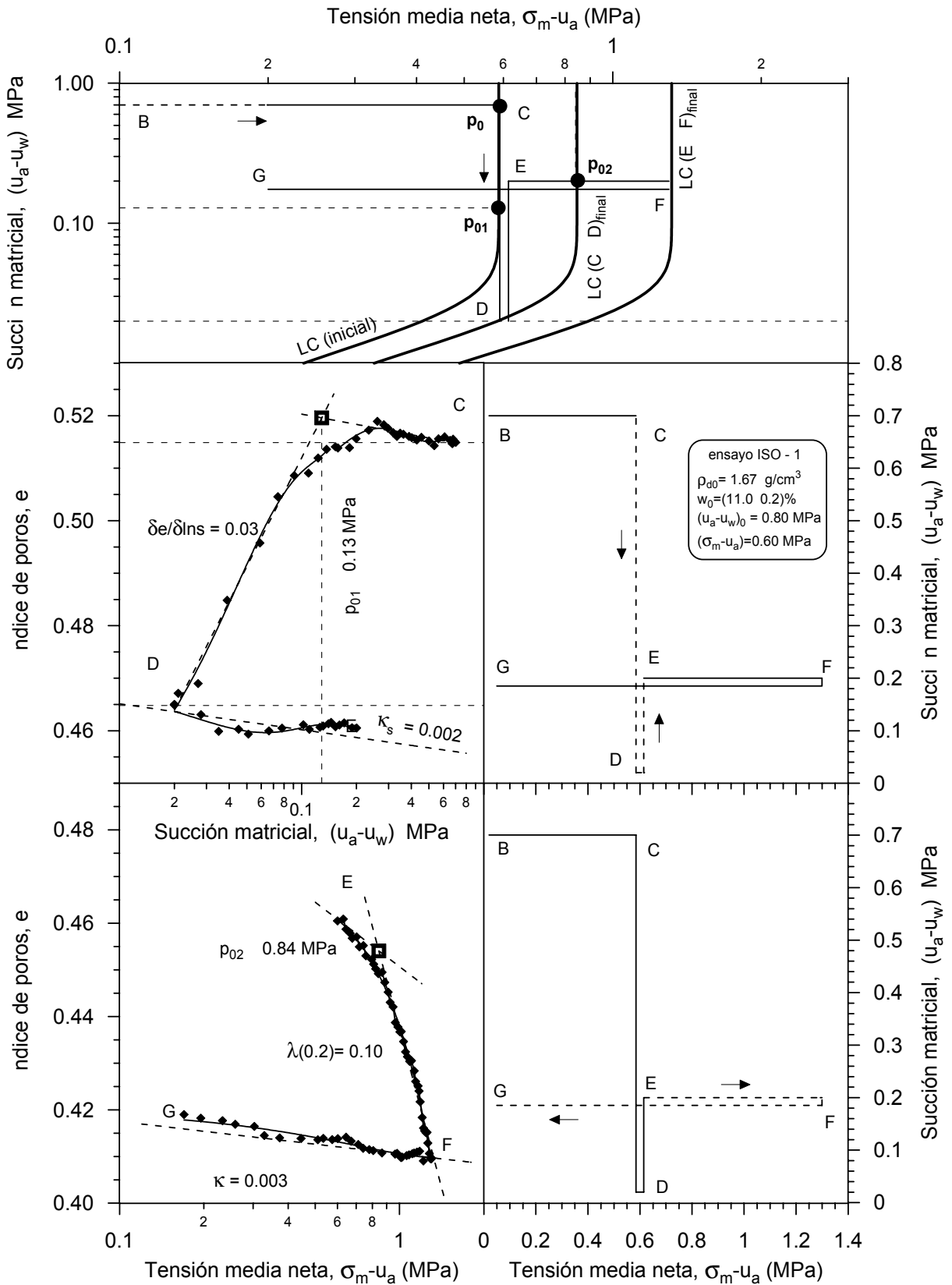


Figura 6.46 Representación gráfica de la obtención de los parámetros en ciclos de carga–descarga y humedecimiento–secado. Desplazamiento de la superficie de fluencia (LC) en el espacio (u_a-u_w, σ_m-u_a) , ensayo ISO-1.

